

Устойчивые колебательные решения в цепочках с диффузионным взаимодействием и дополнительной внутренней связью

Ивановский Л.И.

Ярославль, ЯрГУ им. П.Г. Демидова

Цепочка уравнений с диффузионным взаимодействием

$$\dot{u}_j = N^2(u_{j+1} - 2u_j + u_{j-1}) + \gamma u_j - u_j^3, \quad j = \overline{1, N}, \quad (1)$$

$$u_0 = u_1, \quad u_{N+1} = u_N + \frac{\alpha}{N} u_k, \quad 1 \leq k < N, \quad (2)$$

$$u_j = u_j(t), \quad t \geq 0, \quad \alpha, \gamma \in \mathbb{R}.$$

Цепочка уравнений с диффузионным взаимодействием

$$\dot{u}_j = N^2(u_{j+1} - 2u_j + u_{j-1}) + \gamma u_j - u_j^3, \quad j = \overline{1, N}, \quad (1)$$

$$u_0 = u_1, \quad u_{N+1} = u_N + \frac{\alpha}{N} u_k, \quad 1 \leq k < N, \quad (2)$$

$$u_j = u_j(t), \quad t \geq 0, \quad \alpha, \gamma \in \mathbb{R}.$$



Линеаризованная в нуле система уравнений

$$\dot{u}_j = N^2(u_{j+1} - 2u_j + u_{j-1}) + \gamma u_j, \quad j = \overline{1, N}, \quad (3)$$

$$u_0 = u_1, \quad u_{N+1} = u_N + \frac{\alpha}{N} u_k, \quad 1 \leq k < N, \quad (4)$$

Построение характеристического уравнения

$$u_j = e^{\lambda t} \operatorname{ch} \delta x_j,$$

$$x_j = -\frac{1}{2N} + \frac{j}{N}.$$

Построение характеристического уравнения

$$u_j = e^{\lambda t} \operatorname{ch} \delta x_j,$$

$$x_j = -\frac{1}{2N} + \frac{j}{N}.$$

- $j \leq N - 1$:

$$\delta = 2N \operatorname{arsh} \frac{\sqrt{-\gamma + \lambda}}{2N}. \quad (5)$$

Построение характеристического уравнения

$$u_j = e^{\lambda t} \operatorname{ch} \delta x_j,$$

$$x_j = -\frac{1}{2N} + \frac{j}{N}.$$

- $j \leq N - 1 :$

$$\delta = 2N \operatorname{arsh} \frac{\sqrt{-\gamma + \lambda}}{2N}. \quad (5)$$

- $j = N :$

$$\alpha = \frac{\sqrt{-\gamma + \lambda} \operatorname{sh} \delta}{\operatorname{ch} \delta x_k}. \quad (6)$$

Потеря устойчивости нулевого решения

- $\lambda = 0$:

$$\alpha_u = \frac{\sqrt{-\gamma} \operatorname{sh} \delta_u}{\operatorname{ch} \delta_u x_k}, \quad (7)$$

$$\delta_u = 2N \operatorname{arsh} \frac{\sqrt{-\gamma}}{2N}$$

Потеря устойчивости нулевого решения

- $\lambda = 0$:

$$\alpha_u = \frac{\sqrt{-\gamma} \operatorname{sh} \delta_u}{\operatorname{ch} \delta_u x_k}, \quad (7)$$

$$\delta_u = 2N \operatorname{arsh} \frac{\sqrt{-\gamma}}{2N}$$

- $\lambda = \pm i\omega$:

$$\alpha_c = \frac{\sqrt{-\gamma + i\omega} \operatorname{sh} \delta_c}{\operatorname{ch} \delta_c x_k}, \quad (8)$$

$$\delta_c = 2N \operatorname{arsh} \frac{\sqrt{-\gamma + i\omega}}{2N}.$$

Потеря устойчивости нулевого решения

- $\lambda = 0$:

$$\alpha_u = \frac{\sqrt{-\gamma} \operatorname{sh} \delta_u}{\operatorname{ch} \delta_u x_k}, \quad (7)$$

$$\delta_u = 2N \operatorname{arsh} \frac{\sqrt{-\gamma}}{2N}$$

- $\lambda = \pm i\omega$:

$$\alpha_c = \frac{\sqrt{-\gamma + i\omega} \operatorname{sh} \delta_c}{\operatorname{ch} \delta_c x_k}, \quad (8)$$

$$\delta_c = 2N \operatorname{arsh} \frac{\sqrt{-\gamma + i\omega}}{2N}.$$

$$N = 50.$$

Предельный случай

$$N \rightarrow \infty : \quad \delta \rightarrow \sqrt{-\gamma + \lambda}.$$

Предельный случай

$$N \rightarrow \infty : \quad \delta \rightarrow \sqrt{-\gamma + \lambda}.$$

$$\dot{u} = u'' + \gamma u - u^3, \tag{9}$$

$$u'(0, t) = 0, \quad u'(1, t) = \alpha u(x_0, t), \tag{10}$$

$$x \in [0, 1], \quad x_0 \in [0, 1).$$

Предельный случай

$$N \rightarrow \infty : \quad \delta \rightarrow \sqrt{-\gamma + \lambda}.$$

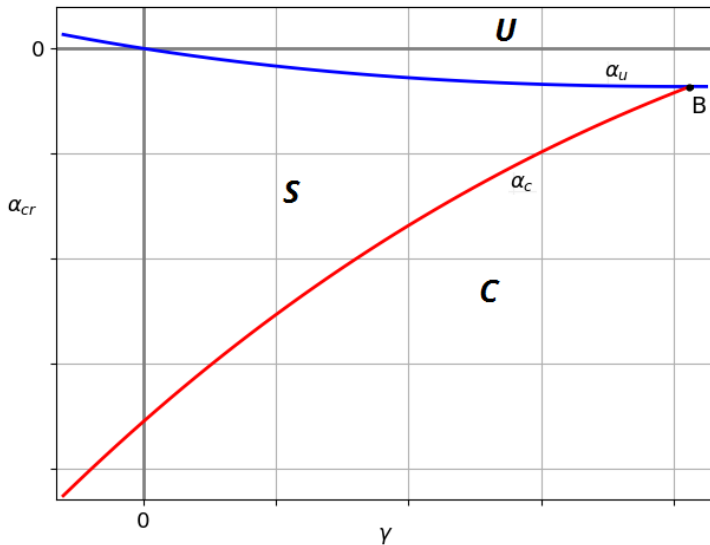
$$\dot{u} = u'' + \gamma u - u^3, \quad (9)$$

$$u'(0, t) = 0, \quad u'(1, t) = \alpha u(x_0, t), \quad (10)$$

$$x \in [0, 1], \quad x_0 \in [0, 1).$$

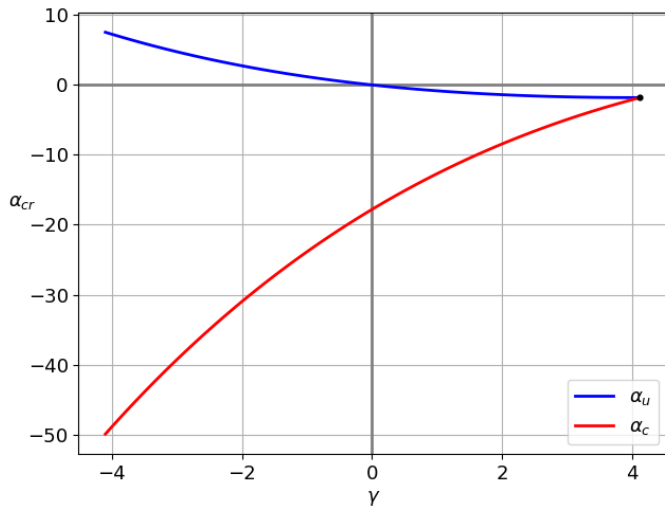
$$\alpha = \frac{\sqrt{-\gamma + \lambda} \operatorname{sh} \sqrt{-\gamma + \lambda}}{\operatorname{ch} \sqrt{-\gamma + \lambda} x_0}. \quad (11)$$

Критические зависимости $\alpha_{cr}(\gamma)$, $1 \leq k \leq 17$



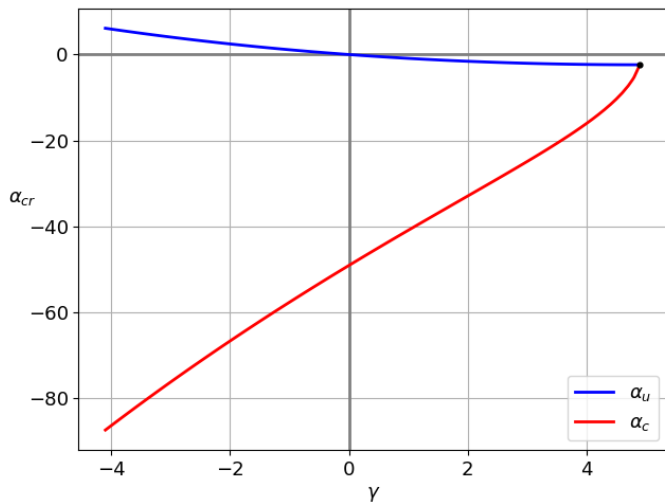
$$B = (\gamma_*, \alpha_*)$$

Критические зависимости $\alpha_{cr}(\gamma)$, $k = 1$



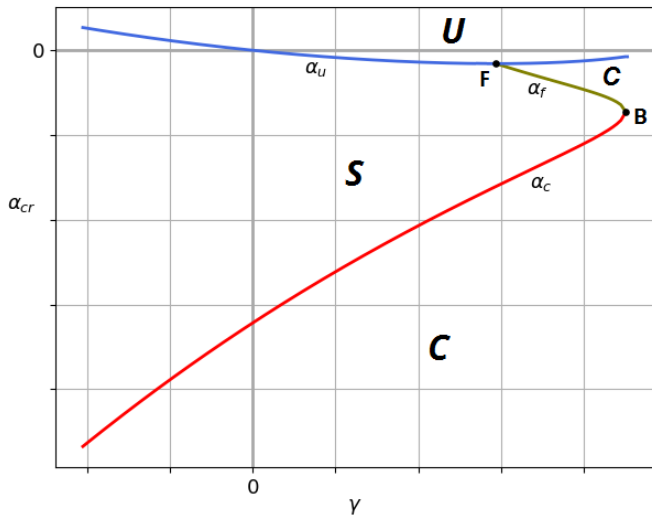
$$\gamma_* \approx 4.116$$

Критические зависимости $\alpha_{cr}(\gamma)$, $k = 17$



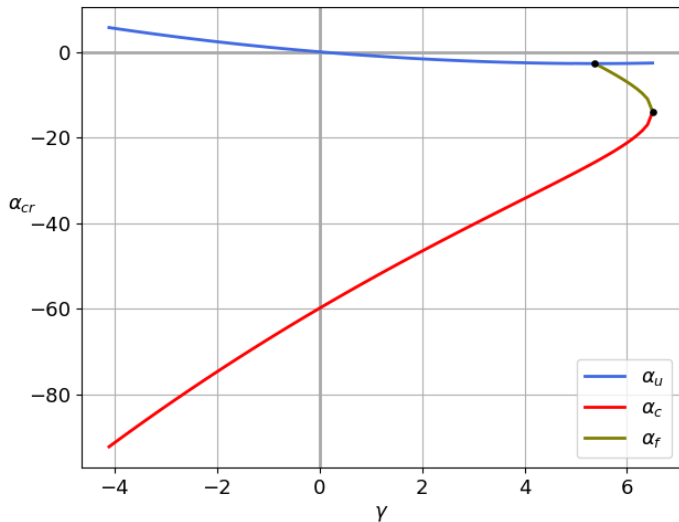
$$\gamma_* \approx 4.896$$

Критические зависимости $\alpha_{cr}(\gamma)$, $18 \leq k \leq 23$



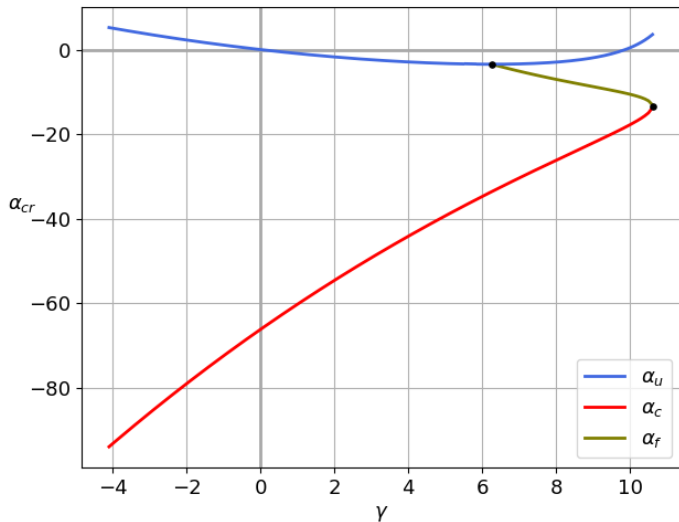
$$F = (\bar{\gamma}, \bar{\alpha})$$

Критические зависимости $\alpha_{cr}(\gamma)$, $k = 20$



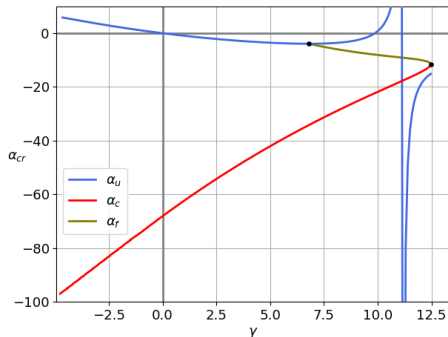
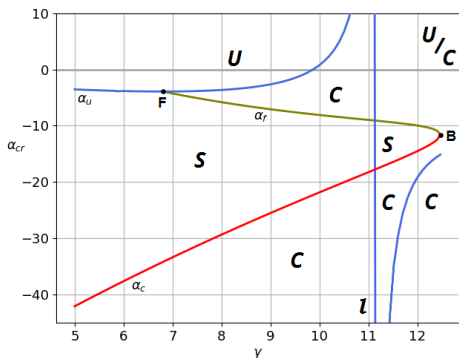
$$\bar{\gamma} \approx 5.375, \quad \gamma_* \approx 6.497$$

Критические зависимости $\alpha_{cr}(\gamma)$, $k = 23$



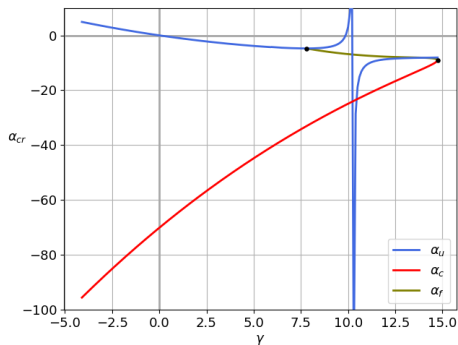
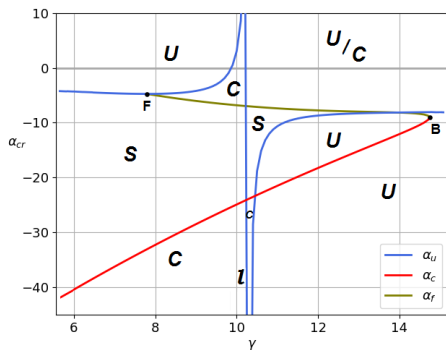
$$\bar{\gamma} \approx 6.258, \quad \gamma_* \approx 10.608$$

Критические зависимости $\alpha_{cr}(\gamma)$, $k = 24$



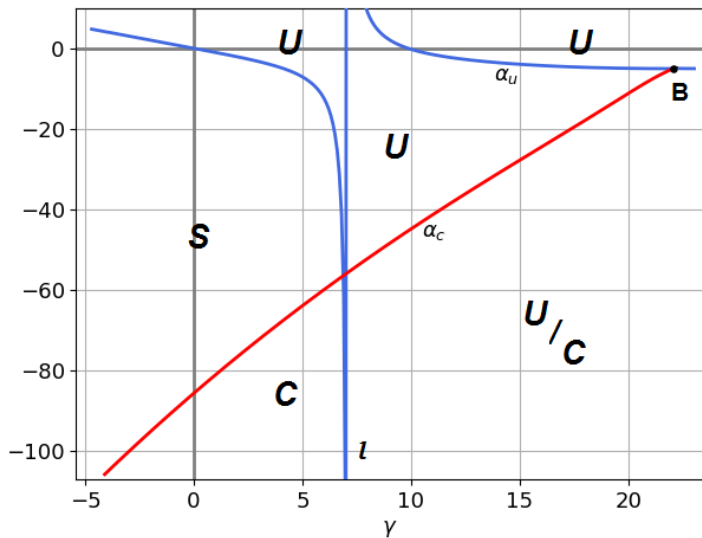
$$\bar{\gamma} \approx 6.796, \quad l \approx 9.486, \quad \gamma_* \approx 12.467$$

Критические зависимости $\alpha_{cr}(\gamma)$, $k = 25$

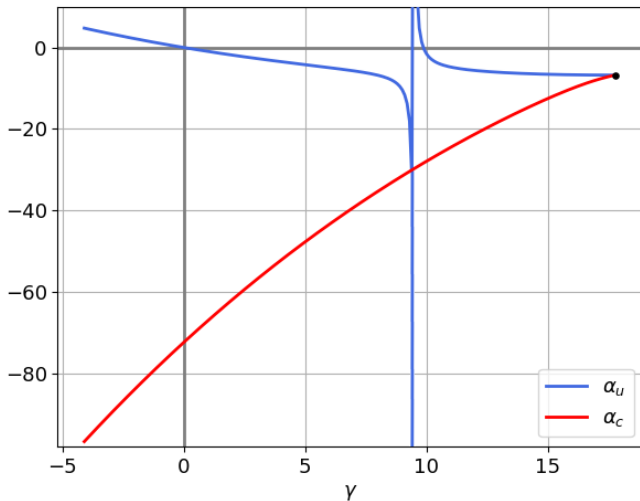


$$\bar{\gamma} \approx 7.794, \quad l \approx 10.277, \quad \gamma_* \approx 14.738$$

Критические зависимости $\alpha_{cr}(\gamma)$, $26 \leq k \leq 32$

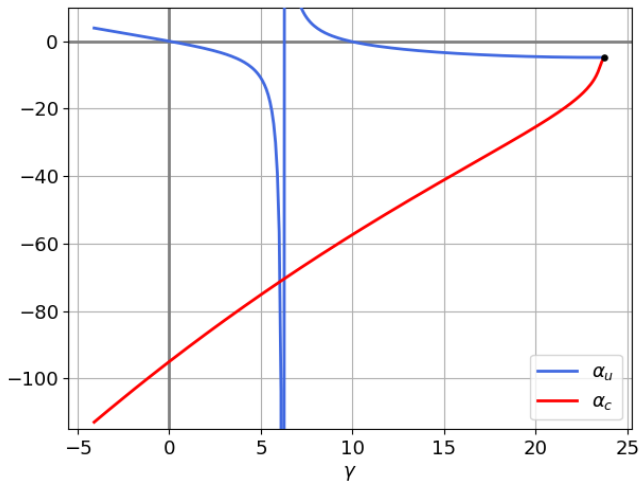


Критические зависимости $\alpha_{cr}(\gamma)$, $k = 26$



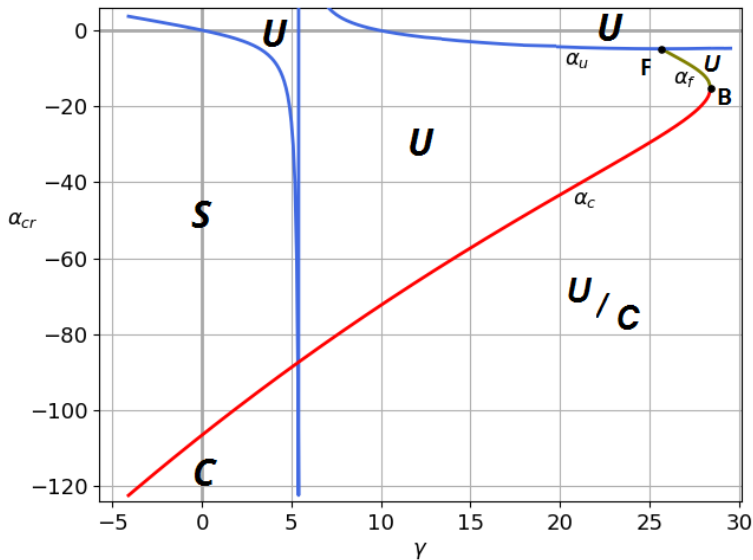
$$l \approx 9.486, \quad \gamma_* \approx 17.763$$

Критические зависимости $\alpha_{cr}(\gamma)$, $k = 32$

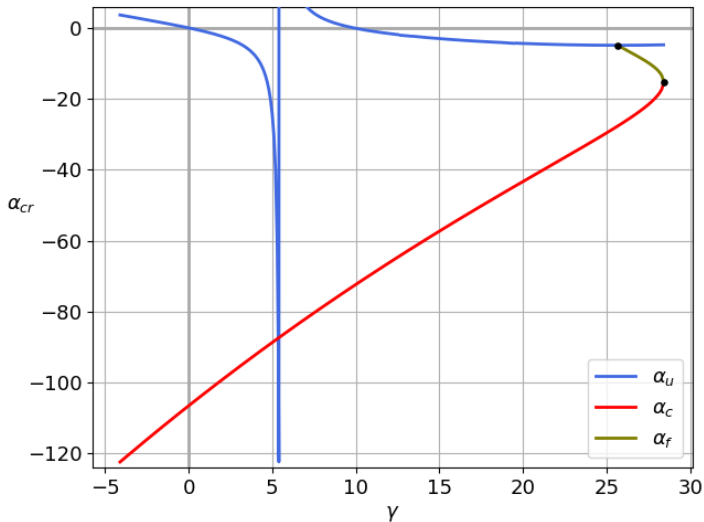


$$l \approx 6.217, \quad \gamma_* \approx 23.717$$

Критические зависимости $\alpha_{cr}(\gamma)$, $33 \leq k \leq 38$

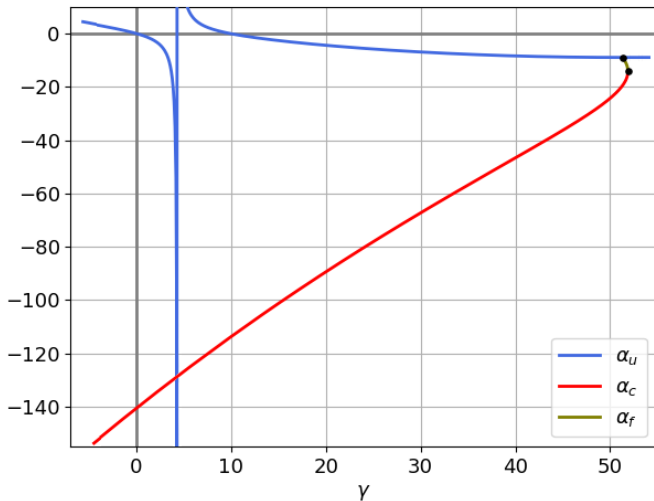


Критические зависимости $\alpha_{cr}(\gamma)$, $k = 34$



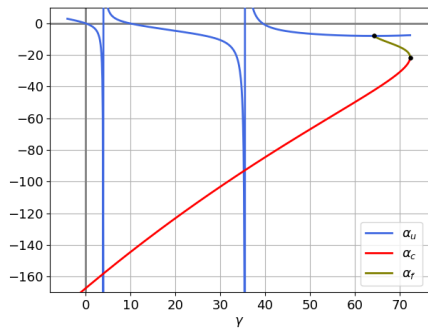
$$l \approx 5.496, \quad \bar{\gamma} \approx 25.682, \quad \gamma_* \approx 28.407$$

Критические зависимости $\alpha_{cr}(\gamma)$, $k = 38$

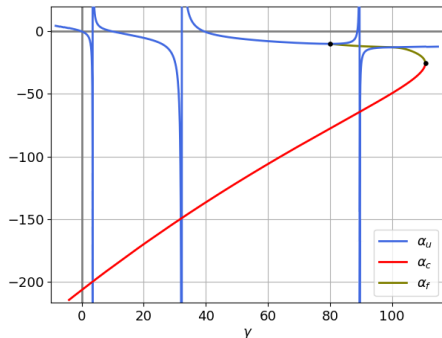


$$l \approx 4.386, \quad \bar{\gamma} \approx 51.305, \quad \gamma_* \approx 51.873$$

Критические зависимости $\alpha_{cr}(\gamma)$, $39 \leq k \leq 50$



(a) $k = 40$, $\gamma_* \approx 72.359$



(6) $k = 42$, $\gamma_* \approx 110.74$

Теорема

Для линеаризованной системы (3), (4) критические зависимости, рассчитываемые по формулам (7), (8), позволяют получить три области параметров (α, γ) : S , для случая устойчивого нулевого решения, U – для случая двух устойчивых состояний равновесия, симметрично ответвляющихся от нулевого решения и области C , в которой наблюдается возникновение устойчивого цикла в окрестности нулевого состояния равновесия.

$$u_j = \sqrt{\varepsilon} u_{j,0} + \varepsilon u_{j,1} + \varepsilon^{\frac{3}{2}} u_{j,2} + O(\varepsilon^2), \quad j = \overline{1, N}. \quad (12)$$

$$u_j = u_j(s), \quad s = \varepsilon t,$$

$$\varepsilon = |\alpha - \alpha_{cr}|, \quad \varepsilon \ll 1.$$

Случай дивергентной потери устойчивости

- $\lambda = 0$: $\varepsilon = \alpha - \alpha_u$,

Случай дивергентной потери устойчивости

- $\lambda = 0$: $\varepsilon = \alpha - \alpha_u$,

$$\dot{u}_{j,0} = N^2(u_{j+1,0} - 2u_{j,0} + u_{j-1,0}) + \gamma u_{j,0}, \quad (13)$$

$$u_{0,0} = u_{1,0}, \quad u_{N+1,0} = u_{N,0} + \frac{\alpha_u}{N} u_{k,0}, \quad 1 \leq k < N \quad (14)$$

$$u_{j,0} = \rho(s) \operatorname{ch} \delta_u x_j,$$

$$\alpha_u = \frac{\sqrt{-\gamma} \operatorname{sh} \delta_u}{\operatorname{ch} \delta_u x_k}, \quad \delta_u = 2N \operatorname{arsh} \frac{\sqrt{-\gamma}}{2N}, \quad x_j = -\frac{1}{2N} + \frac{j}{N}.$$

Случай дивергентной потери устойчивости

$$\dot{u}_{j,2} + \frac{\partial u_{j,0}}{\partial s} = N^2(u_{j+1,2} - 2u_{j,2} + u_{j-1,2}) + \gamma u_{j,2} - u_{j,2}^3, \quad (15)$$

$$u_{0,2} = u_{1,2}, \quad u_{N+1,2} = u_{N,2} + \frac{\alpha_u}{N} u_{k,0}, \quad (16)$$

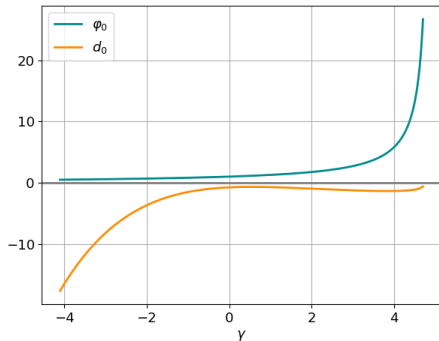
$$u_{j,2} = \operatorname{ch} \delta_u x_j.$$

$$\rho' = \phi_0 \rho + d_0 \rho^3, \quad (17)$$

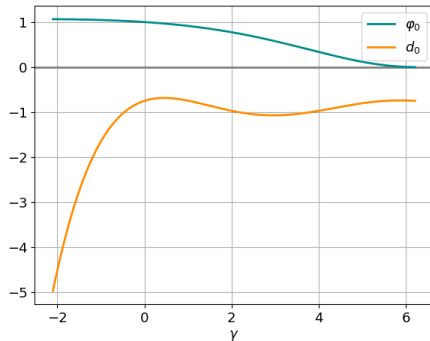
$$\phi_0 = \frac{2\delta_u \operatorname{ch} \delta_u x_k}{\delta_u \operatorname{ch} \delta_u + \operatorname{sh} \delta_u - \alpha_u x_k \operatorname{sh} \delta_u x_k}, \quad (18)$$

$$d_0 = \frac{3\delta_u^2 \operatorname{sh} 3\delta_u - \alpha_u \delta_u \operatorname{ch} 3\delta_u x_k}{16(\delta_u \operatorname{ch} \delta_u + \operatorname{sh} \delta_u - \alpha_u x_k \operatorname{sh} \delta_u x_k)} - \frac{3}{4}. \quad (19)$$

Графики $\phi_0(\gamma)$ и $d_0(\gamma)$

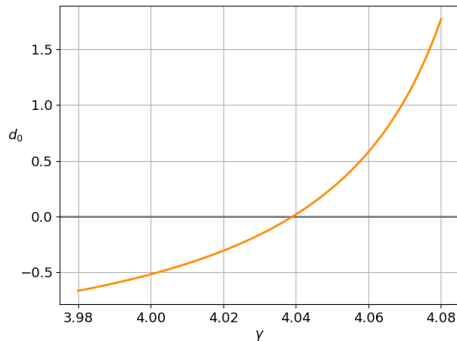


(a) $k = 17$

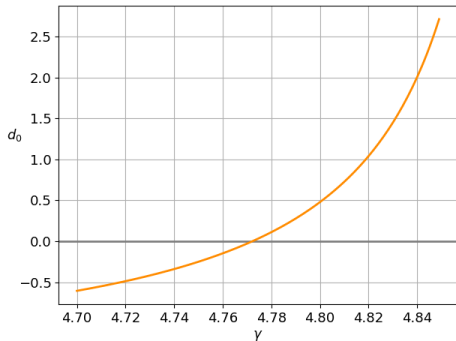


(6) $k = 32$

Графики $d_0(\gamma)$

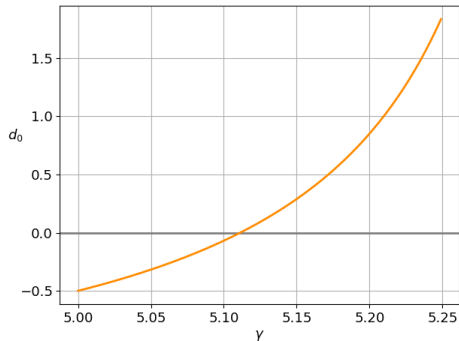


(a) $k = 1, \quad \gamma_* \approx 4.116$

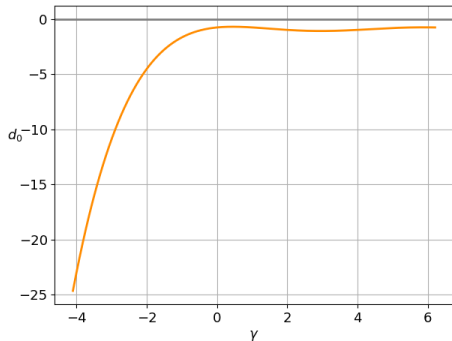


(6) $k = 17, \quad \gamma_* \approx 4.896$

Графики $d_0(\gamma)$



(a) $k = 20, \quad \bar{\gamma} \approx 5.375$



(6) $k = 32, \quad l \approx 6.217$

Случай колебательной потери устойчивости

- $\lambda = \pm i\omega$: $\varepsilon = \alpha_c - \alpha$,

Случай колебательной потери устойчивости

- $\lambda = \pm i\omega$: $\varepsilon = \alpha_c - \alpha$,

$$\dot{u}_{j,0} = N^2(u_{j+1,0} - 2u_{j,0} + u_{j-1,0}) + \gamma u_{j,0}, \quad (20)$$

$$u_{0,0} = u_{1,0}, \quad u_{N+1,0} = u_{N,0} + \frac{\alpha_c}{N} u_{k,0}, \quad 1 \leq k < N \quad (21)$$

$$u_{j,0} = z(s)e^{i\omega t} \operatorname{ch} \delta_c x_j + \overline{z(s)}e^{-i\omega t} \overline{\operatorname{ch} \delta_c x_j},$$

$$\alpha_c = \frac{\sqrt{-\gamma + i\omega} \operatorname{sh} \delta_c}{\operatorname{ch} \delta_c x_k}, \quad \delta_c = 2N \operatorname{arsh} \frac{\sqrt{-\gamma + i\omega}}{2N}, \quad x_j = -\frac{1}{2N} + \frac{j}{N}.$$

Случай колебательной потери устойчивости

$$\dot{u}_{j,2} + \frac{\partial u_{j,0}}{\partial s} = N^2(u_{j+1,2} - 2u_{j,2} + u_{j-1,2}) + \gamma u_{j,2} - u_{j,2}^3, \quad (22)$$

$$u_{0,2} = u_{1,2}, \quad u_{N+1,2} = u_{N,2} + \frac{\alpha_c}{N} u_{k,0}, \quad 1 \leq k < N, \quad (23)$$

$$u_{j,2} = e^{i\omega t} \operatorname{ch} \delta_c x_j.$$

Случай колебательной потери устойчивости

$$z' = \phi_0 z + d_0 z |z|^2, \quad (24)$$

$$\phi_0 = -\operatorname{Re} \left(\frac{2\delta_c \operatorname{ch} \delta_c x_k}{\delta_c \operatorname{ch} \delta_c + \operatorname{sh} \delta_c - \alpha_c x_k \operatorname{sh} \delta_c x_k} \right),$$

$$d_0 = \operatorname{Re} \left(\frac{3\delta_c (G(\chi) + G(\eta) + 2G(\overline{\delta_c}))}{2(\delta_c \operatorname{ch} \delta_c + \operatorname{sh} \delta_c - \alpha_c x_k \operatorname{sh} \delta_c x_k)} \right),$$

Случай колебательной потери устойчивости

$$z' = \phi_0 z + d_0 z |z|^2, \quad (24)$$

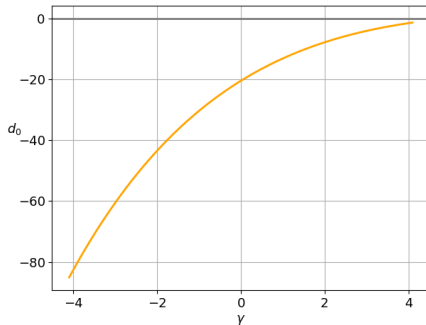
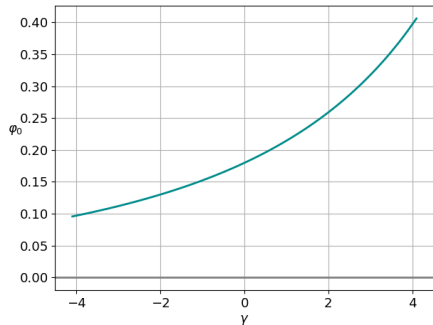
$$\phi_0 = -\operatorname{Re} \left(\frac{2\delta_c \operatorname{ch} \delta_c x_k}{\delta_c \operatorname{ch} \delta_c + \operatorname{sh} \delta_c - \alpha_c x_k \operatorname{sh} \delta_c x_k} \right),$$

$$d_0 = \operatorname{Re} \left(\frac{3\delta_c (G(\chi) + G(\eta) + 2G(\overline{\delta_c}))}{2(\delta_c \operatorname{ch} \delta_c + \operatorname{sh} \delta_c - \alpha_c x_k \operatorname{sh} \delta_c x_k)} \right),$$

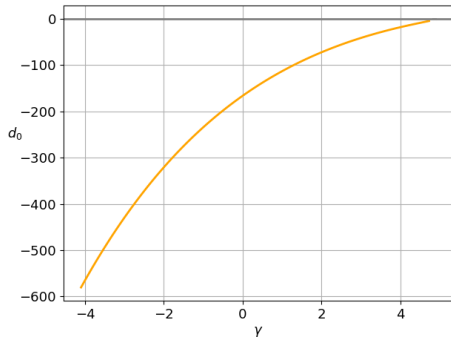
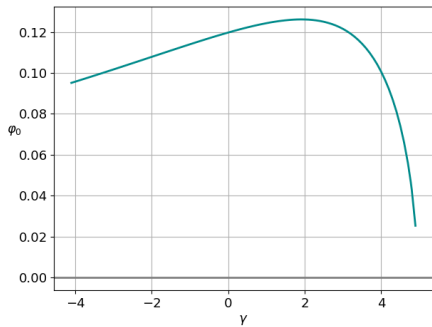
$$\chi = \delta_c + 2\operatorname{Re} \delta_c, \quad \eta = \delta_c + 2\operatorname{Im} \delta_c,$$

$$G(a) = \frac{\alpha_c \operatorname{ch} a x_k - a \operatorname{sh} a}{a^2 - \delta_c^2}.$$

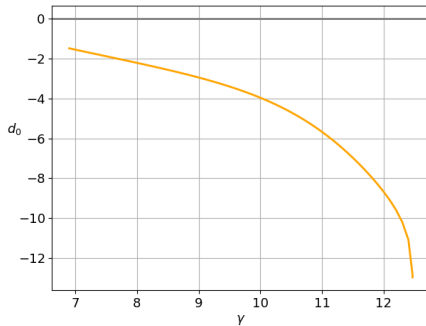
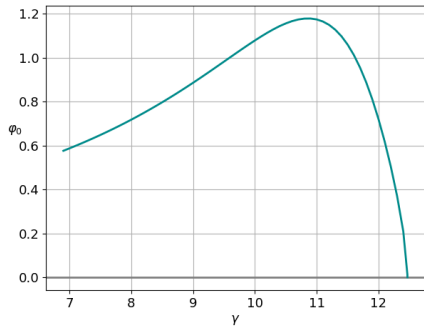
Графики $\phi_0(\gamma)$ и $d_0(\gamma)$, $k = 1$ для $\alpha_{cr} = \alpha_c$



Графики $\phi_0(\gamma)$ и $d_0(\gamma)$, $k = 17$ для $\alpha_{cr} = \alpha_c$



Графики $\phi_0(\gamma)$ и $d_0(\gamma)$, $k = 24$ для $\alpha_{cr} = \alpha_f$



Теорема

Для системы дифференциальных уравнений (1), (2)

$\exists \Gamma_u \leq \gamma_ : \gamma < \Gamma_u$ нулевое состояние равновесия теряет свою устойчивость дивергентным способом.*

Теорема

Для системы дифференциальных уравнений (1), (2)

$\exists \Gamma_u \leq \gamma_ : \gamma < \Gamma_u$ нулевое состояние равновесия теряет свою устойчивость дивергентным способом.*

Теорема

Для системы дифференциальных уравнений (1), (2)

$\exists \Gamma_c \leq \gamma_ : \gamma < \Gamma_c$ нулевое состояние равновесия теряет свою устойчивость колебательным способом.*

Устойчивые колебательные решения в цепочках с диффузионным взаимодействием и дополнительной внутренней связью

Ивановский Л.И.

Ярославль, ЯрГУ им. П.Г. Демидова